

Large N QFT

大阪大学素粒子論研究室B4

藤村晴伸

2022/2/17

概要・動機

概要

Large N QFTとは・・・場の数 $N \rightarrow \infty$ の理論

$$\phi^i \quad \phi^{ij} \quad \phi^{ijk}$$

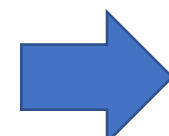
AdS/CFTに関係

$$i, j, k = 1, 2, \dots, N$$

$$O(N) \quad O(N)^2 \quad O(N)^3 \quad U(N) \quad \dots \text{など}$$

動機

- ・大学院でAdS/CFTをやりたい
- ・場の理論の知識がない



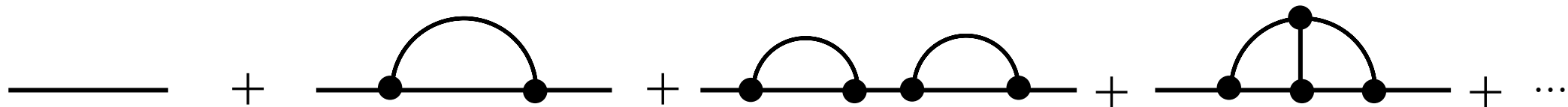
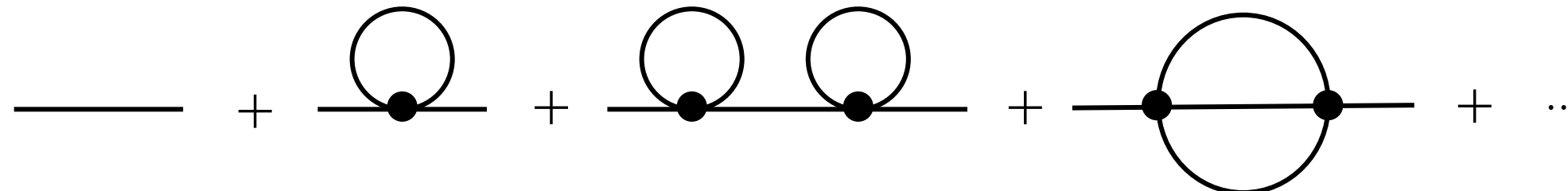
Large Nから勉強することに

アウトライン

1. 実スカラー場の理論 $\phi^4 model, \phi^3 model$ (1枚)
2. Large Nアプローチ
 - 2.1 *Vector model* : $O(N) \phi^i$ (3枚)
 - 2.2 *Matrix model* : $U(N) \Phi_j^i$ (3枚)
 - 2.2 *Tensor model* : $O(N)^3 \phi^{ijk}$ (3枚)
3. まとめ、今後の展望 (2枚)

1 実スカラー場の理論, ϕ^4 model, ϕ^3 model

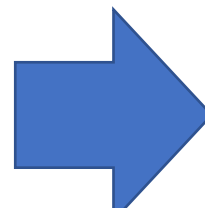
○相互作用が小さいとき→摂動論



○摂動のn次

→ Feynman diagramの数 $\sim n!$

摂動が収束しない



't Hooft

Large N 理論

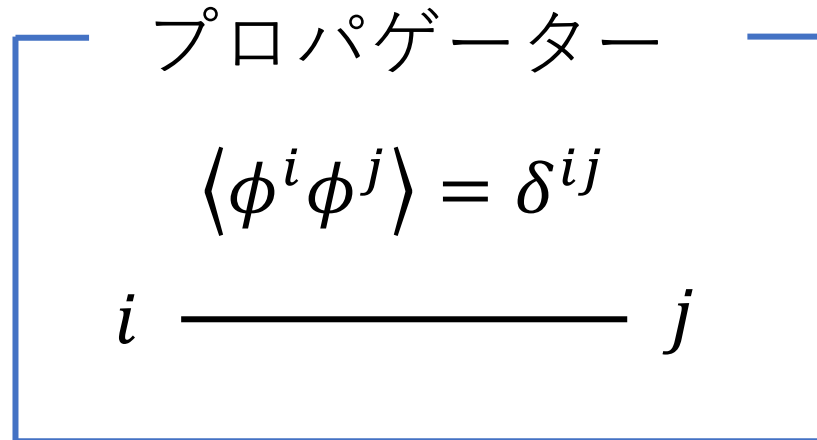
ϕ^i Φ_j^i ϕ^{ijk}

2.1 Vector model ϕ^i ($O(N)$)

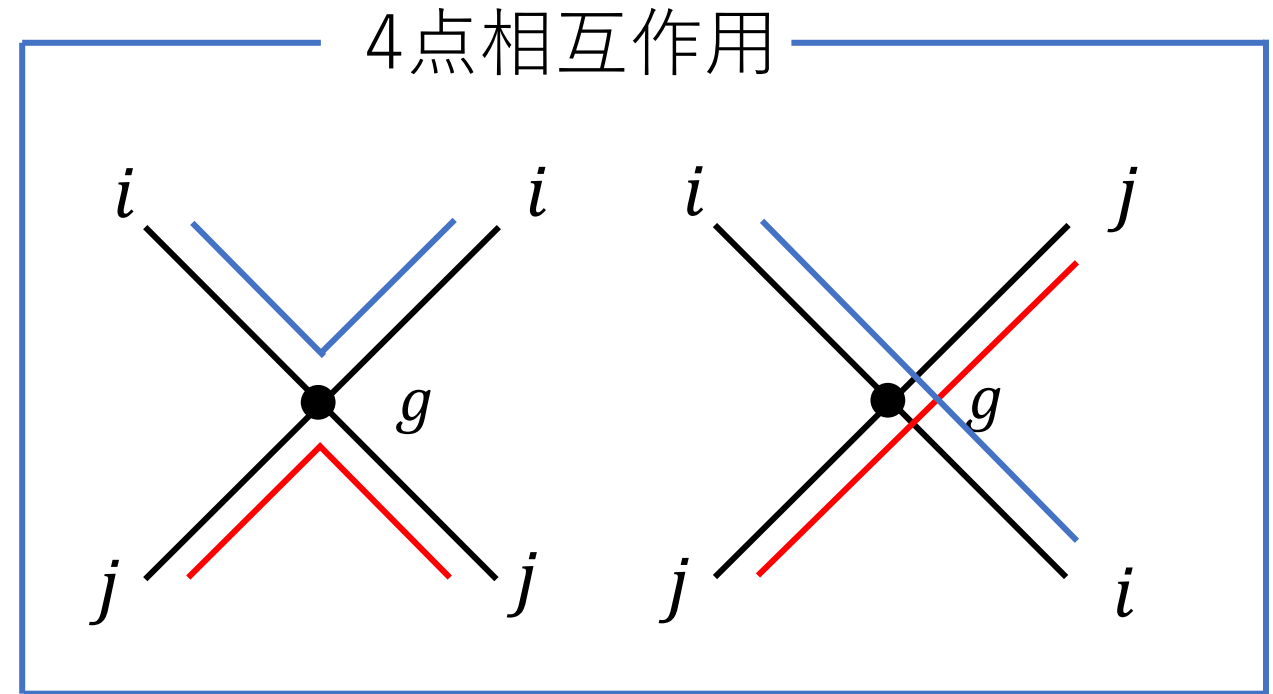
0+0次元
$$\mathcal{L} = -\frac{1}{2}\phi^i\phi^i - \frac{g}{4!}\phi^i\phi^i\phi^j\phi^j \quad (i,j = 1,2, \dots N)$$



ϕ^i の添字*i*をカラーと呼ぶとする。



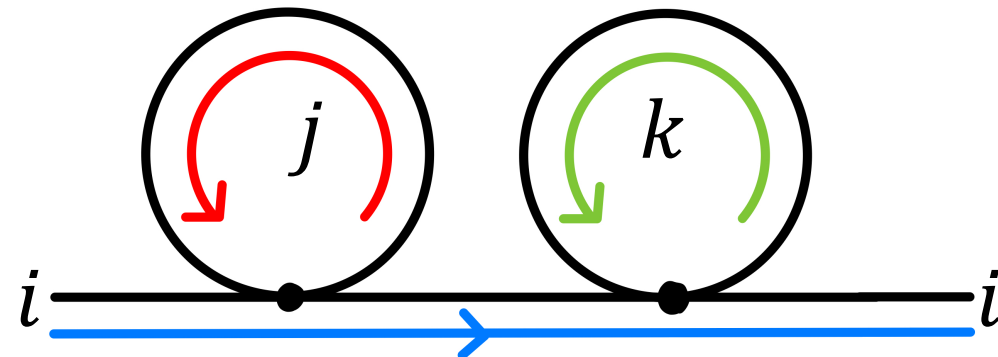
カラーの流れが発生



2.1 Vector model ϕ^i ($O(N)$)

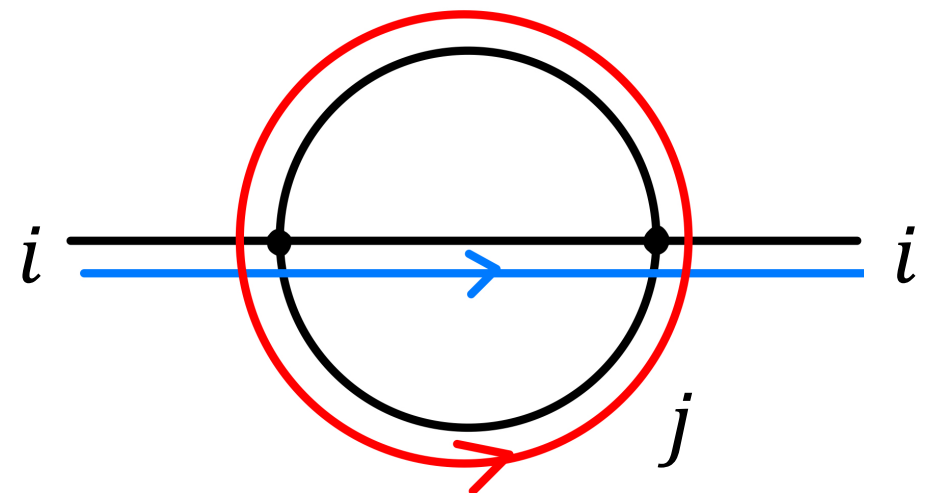
$N \rightarrow \infty, \lambda \equiv gN$ fixed (t' Hooft limit)

snail diagram



$$\sim g^2 N^2 = \lambda^2$$

melon diagram

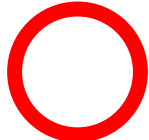


$$\sim g^2 N = \frac{\lambda^2}{N}$$

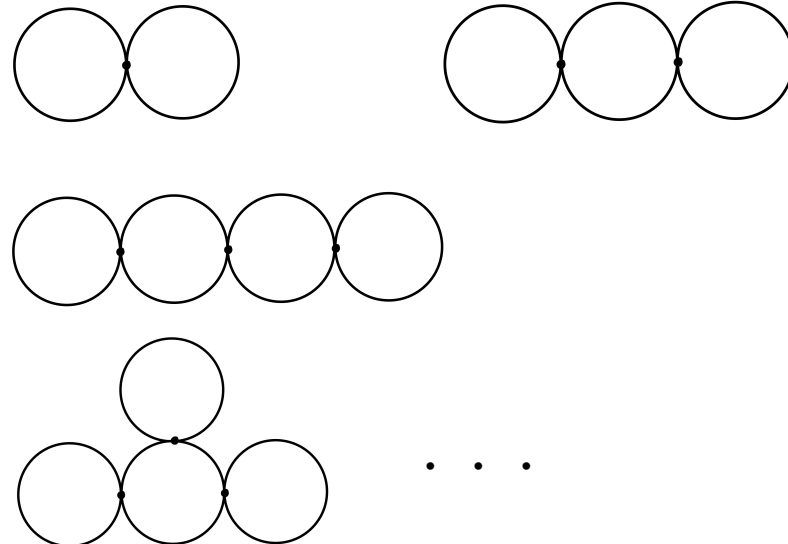
$\rightarrow 0$ ($N \rightarrow \infty$)

2.1 Vector model ϕ^i ($O(N)$)

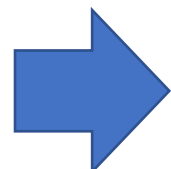
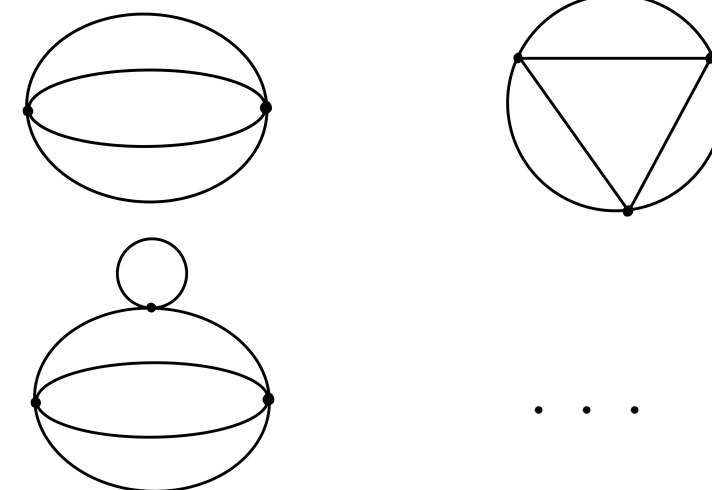
真空ダイアグラムの場合



bubble diagram $\sim O(\lambda^{\#} N)$



それ以外は高々 $\sim O(\lambda^{\#})$



非摂動で解けるモデル

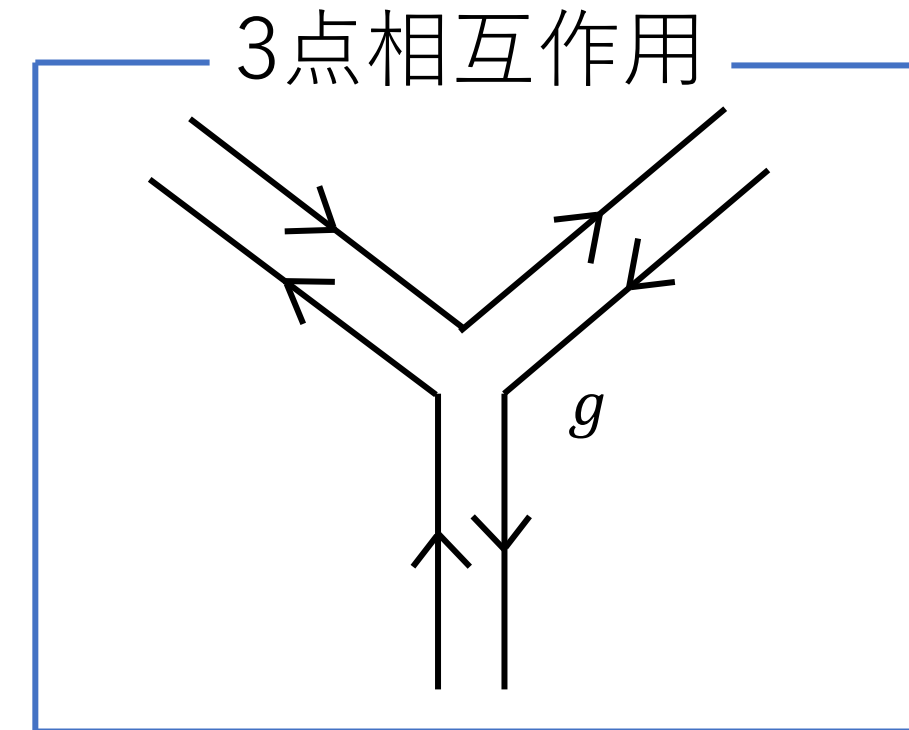
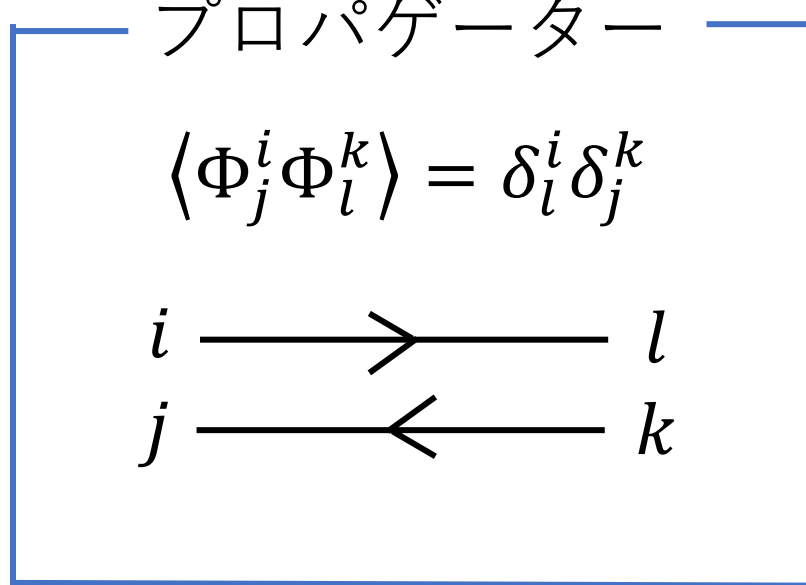
$$Z(\vec{J} = 0, \lambda) = \lambda \text{の関数}$$

2.2 Matrix model Φ_j^i ($U(N)$)

0+0次元

$$\mathcal{L} = -\frac{1}{2} \text{tr}(\Phi^2) - \frac{g}{3!} \text{tr}(\Phi^3)$$

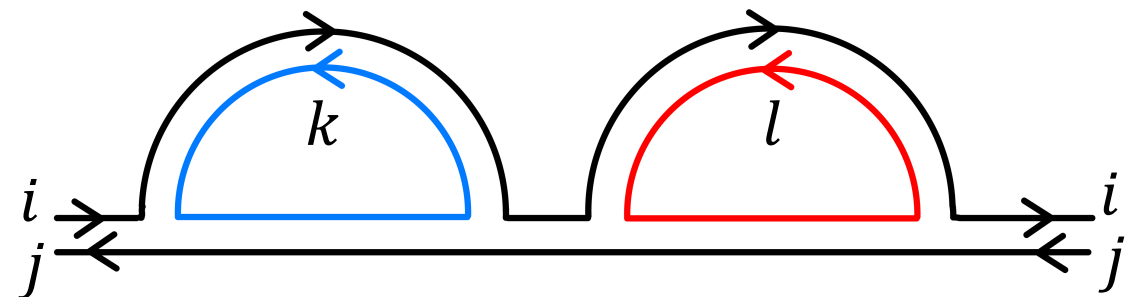
(Φ : $N \times N$ matrix)



2.2 Matrix model Φ_j^i ($U(N)$)

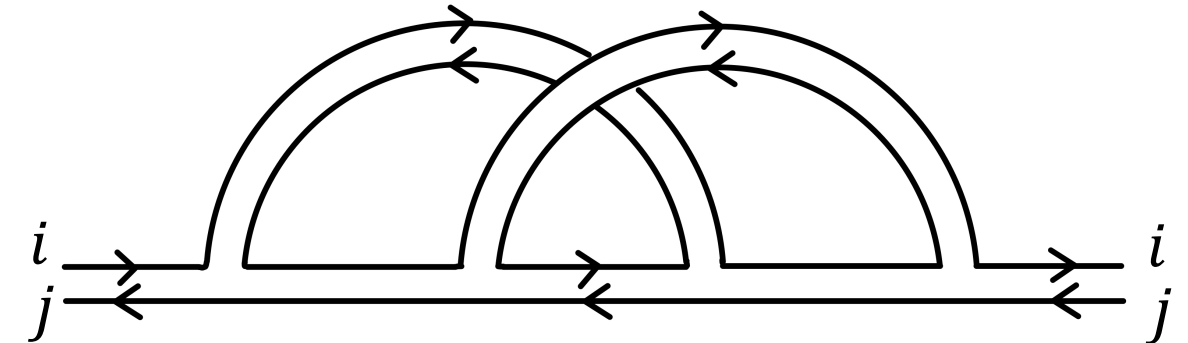
$N \rightarrow \infty, \lambda \equiv g^2 N$ fixed ($t'Hooft$ limit)

planar diagram



$$\sim g^4 N^2 = \lambda^2$$

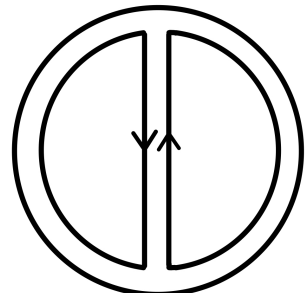
non - planar diagram



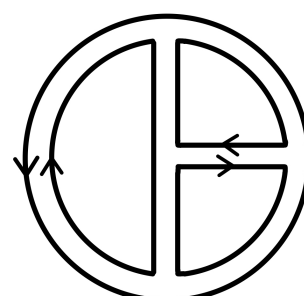
$$\sim g^4 = \lambda^2 N^{-2}$$
$$\rightarrow 0 \quad (N \rightarrow \infty)$$

2.2 Matrix model $\Phi_j^i (U(N))$

planar diagram



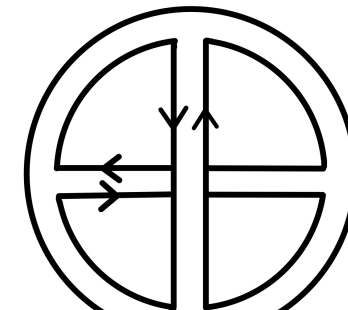
$$\sim \lambda N^2$$



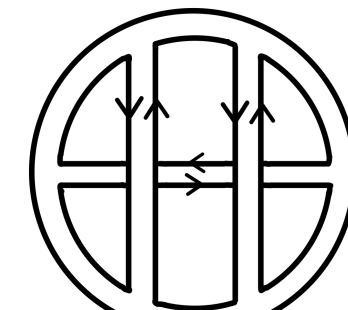
$$\sim \lambda^2 N^2$$

...

non - planar diagram



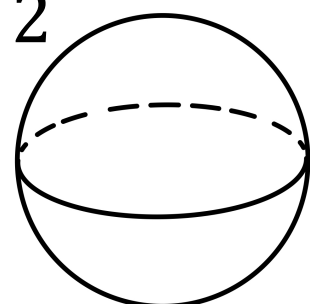
$$\sim \lambda^2 N^0$$



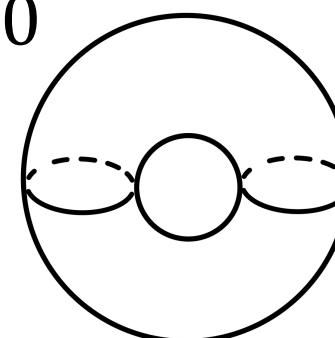
$$\sim \lambda^3 N^0$$

...

$$\chi = 2$$



$$\chi = 0$$



$$\chi = -2$$

...

(確率振幅) $\sim \lambda^\# N^\chi$

$$(\chi = 2, 0, -2, \dots)$$

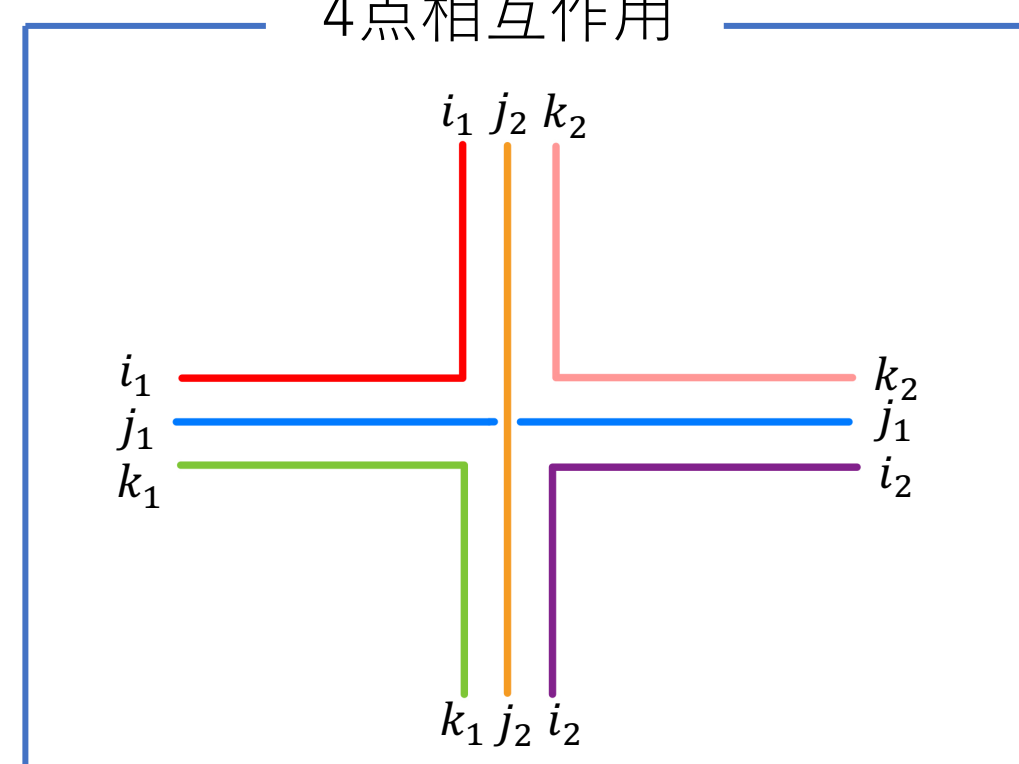
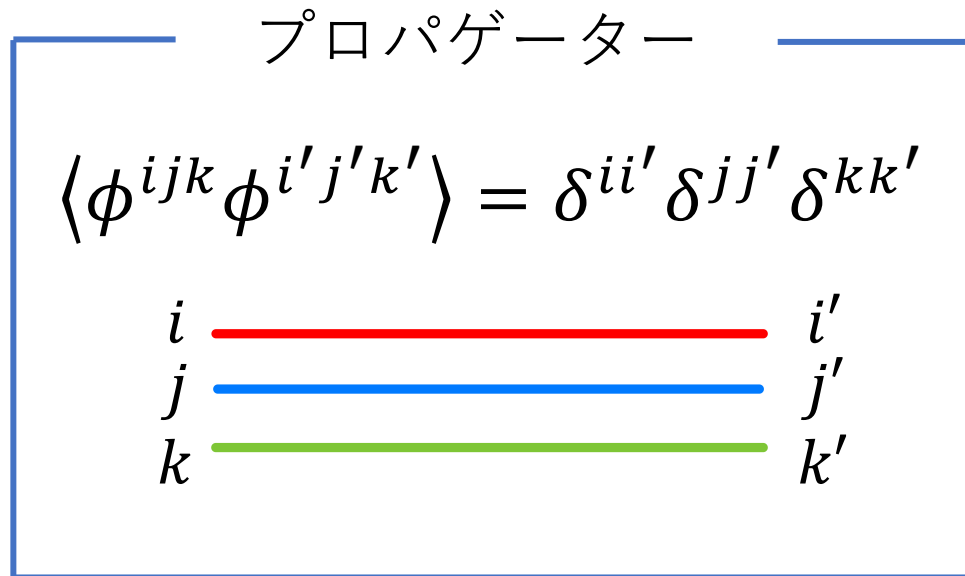
*planar diagram*しか効かない

2.3 Tensor model ϕ^{ijk} ($O(N)^3$)

0+0次元

$$\mathcal{L} = -\frac{1}{2}\phi^{ijk}\phi^{ijk} - \frac{g}{4!}\phi^{i_1j_1k_1}\phi^{i_1j_2k_2}\phi^{i_2j_1k_2}\phi^{i_2j_2k_1}$$

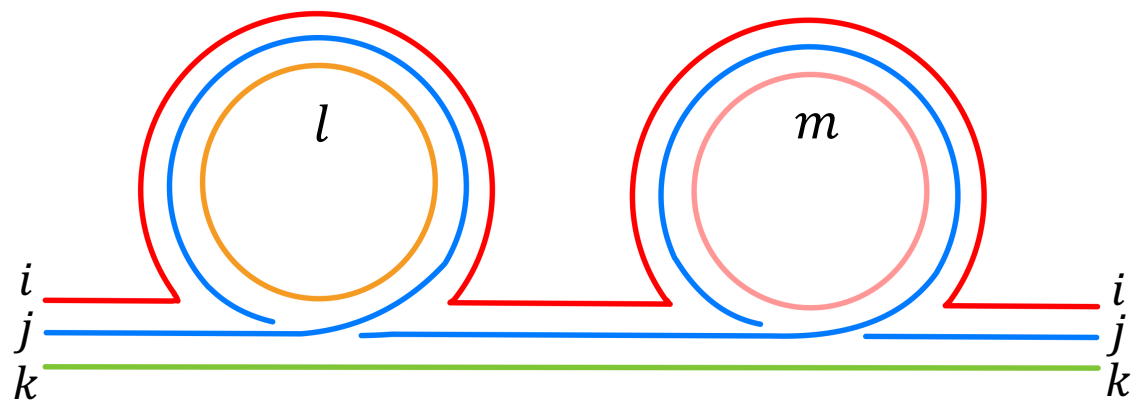
$(i, j, k, i_1 \dots = 1, 2, \dots N)$



2.3 Tensor model ϕ^{ijk} ($O(N)^3$)

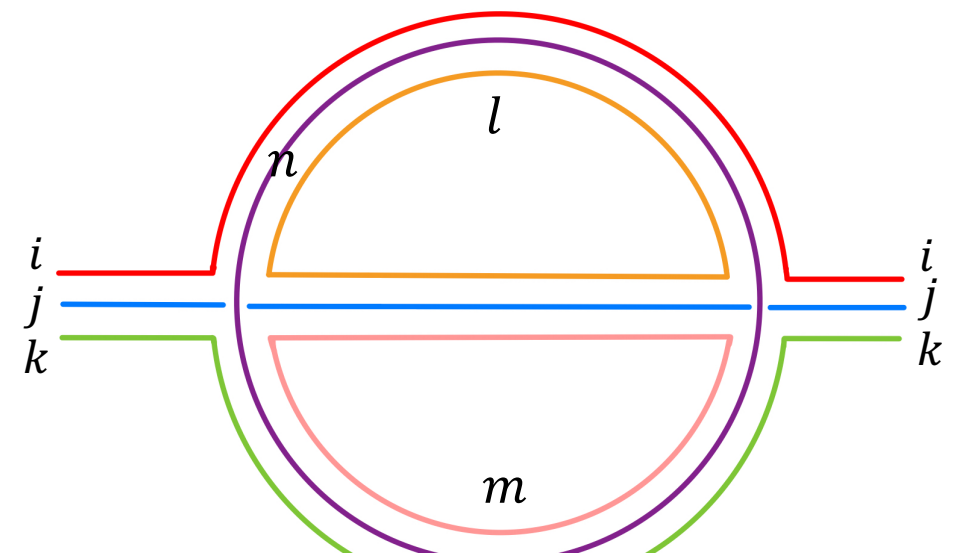
$N \rightarrow \infty$, $\lambda^2 \equiv g^2 N^3$ fixed (t'Hooft limit)

snail diagram



$$\sim g^2 N^2 = \frac{\lambda^2}{N}$$
$$\rightarrow 0 \quad (N \rightarrow \infty)$$

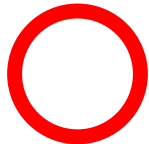
melon diagram



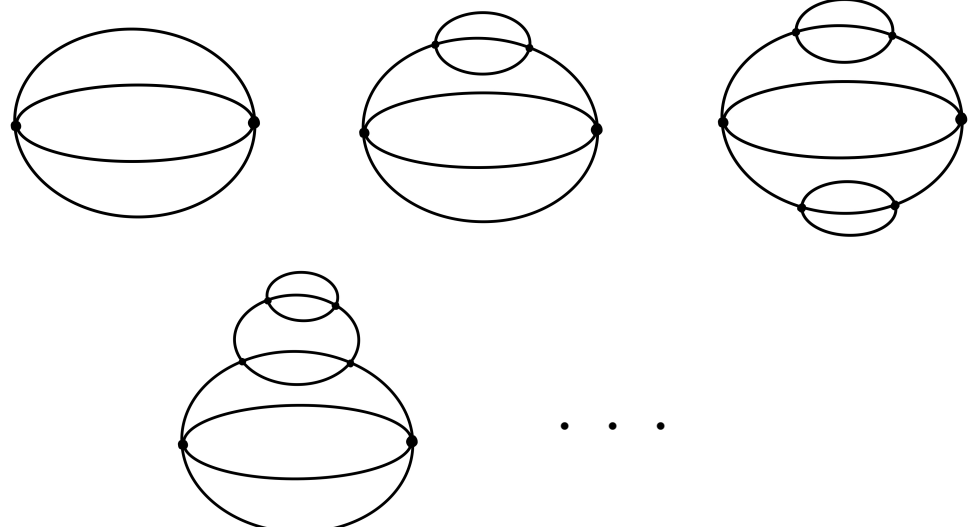
$$\sim g^2 N^3 = \lambda^2$$

2.3 Tensor model ϕ^{ijk} ($O(N)^3$)

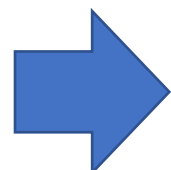
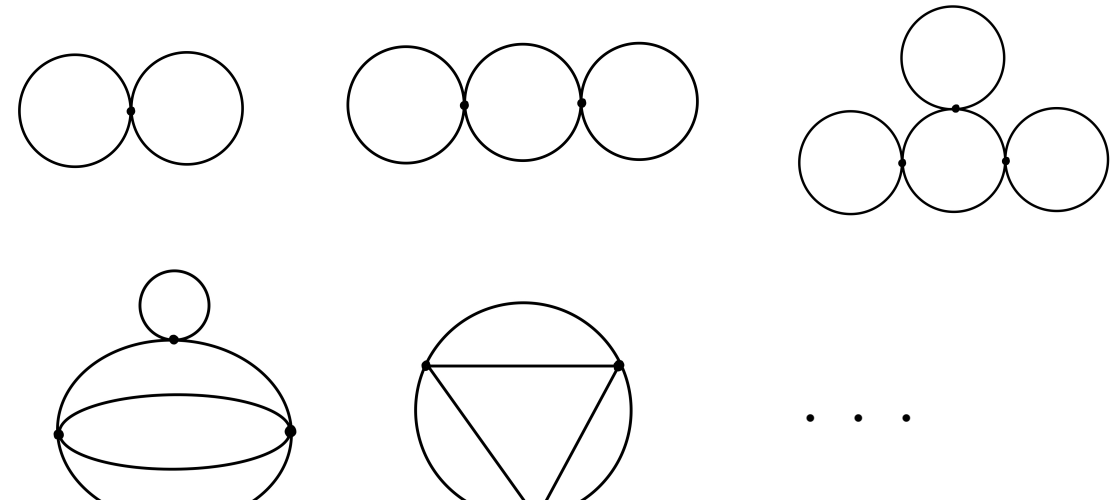
真空ダイアグラムの場合



melon diagram $\sim O(\lambda^{\#} N^3)$



それ以外は高々 $\sim O(\lambda^{\#} N^{5/2})$



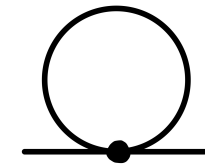
非摂動で解けるモデル

$Z(\vec{J} = 0, \lambda) = \lambda$ の関数

まとめ

- 場の種類を増やすことでカラーの流れができた。
- 場の数 $N \rightarrow \infty$ の極限では、一部の *Feynman diagram* しか効かない。

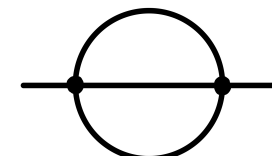
Vector model \rightarrow *snail diagram*



Matrix model \rightarrow *planar diagram*

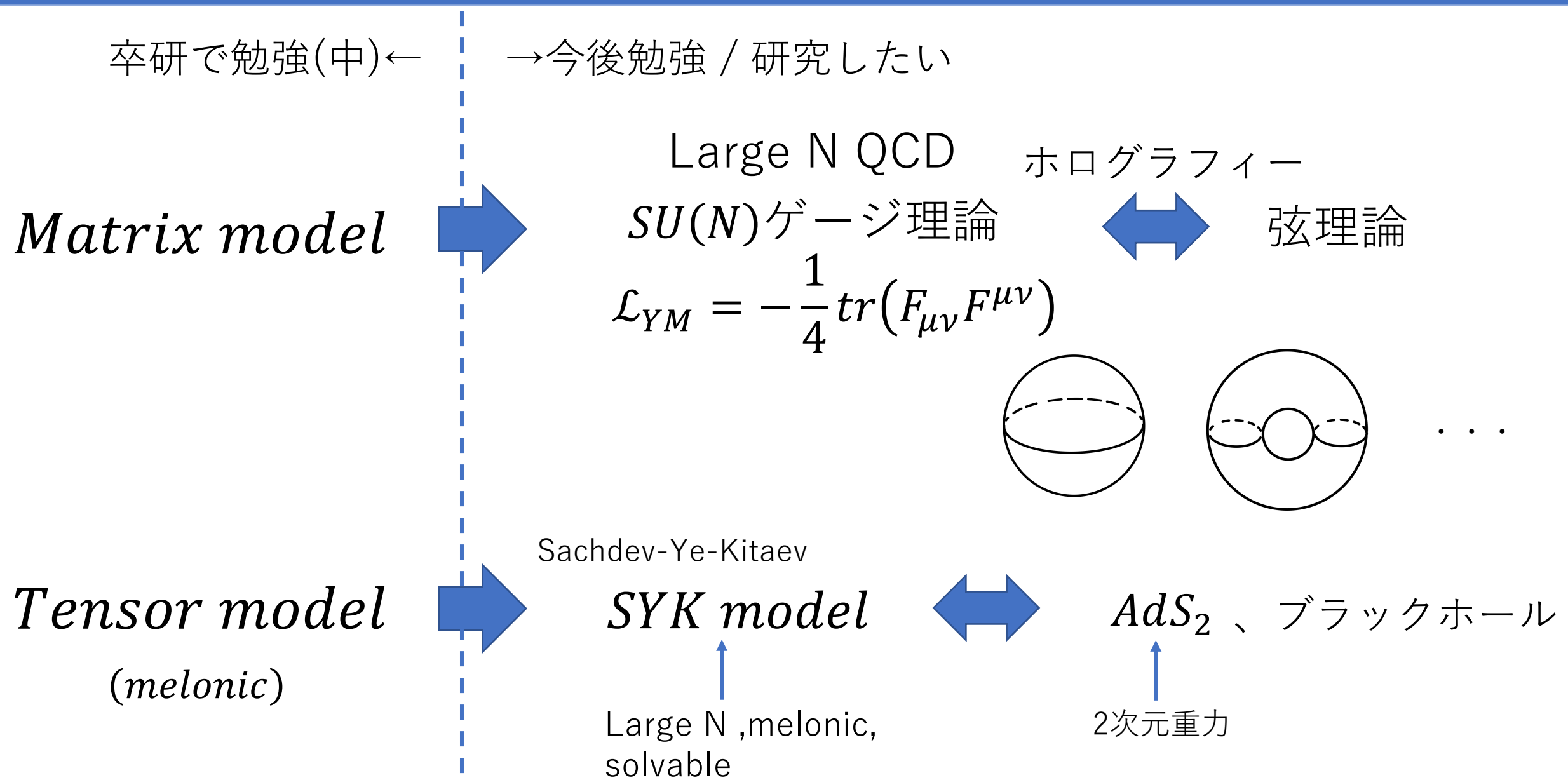
- トポロジーとの関係が現れた

Tensor model \rightarrow *melon diagram*

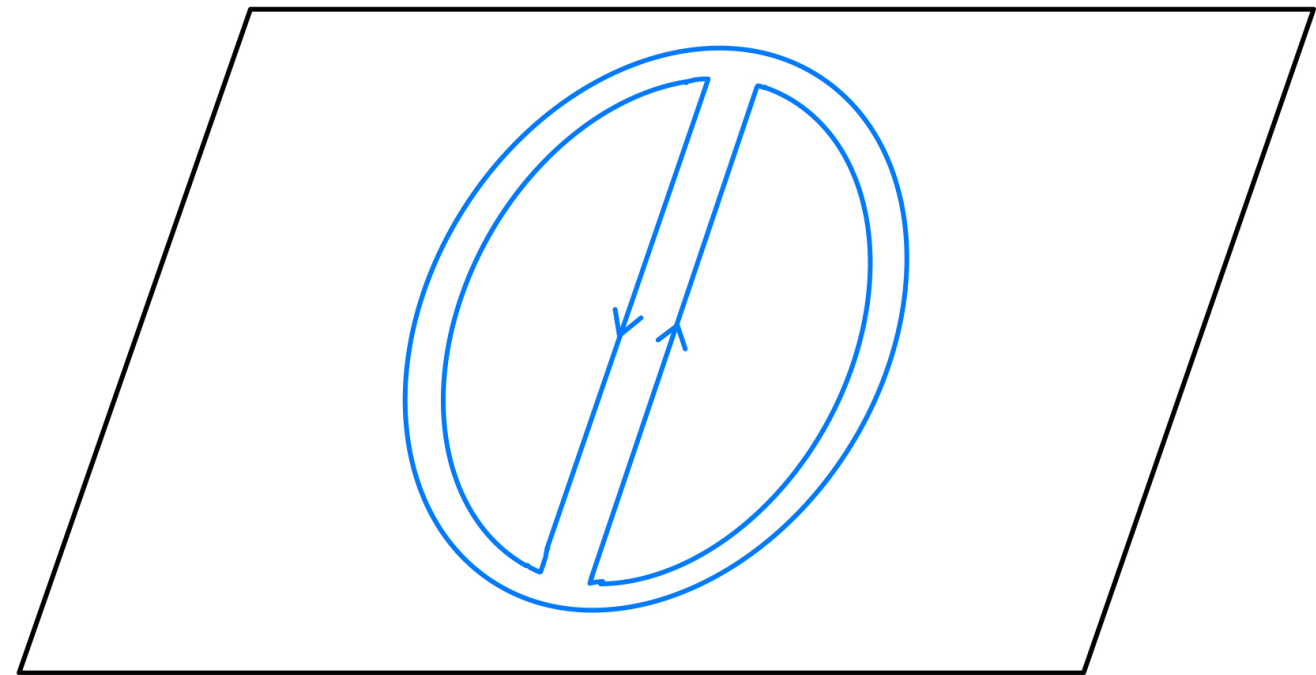
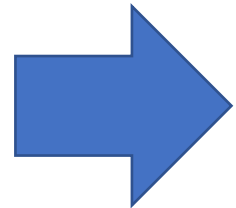
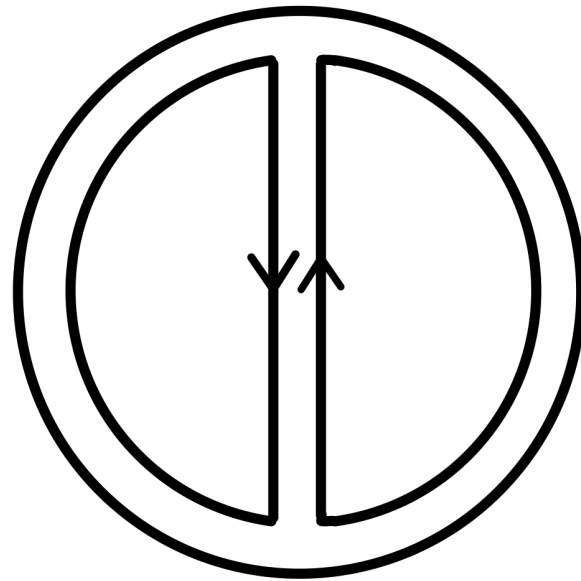


- 摂動の収束が良くなり、非摂動で解ける場合もある。

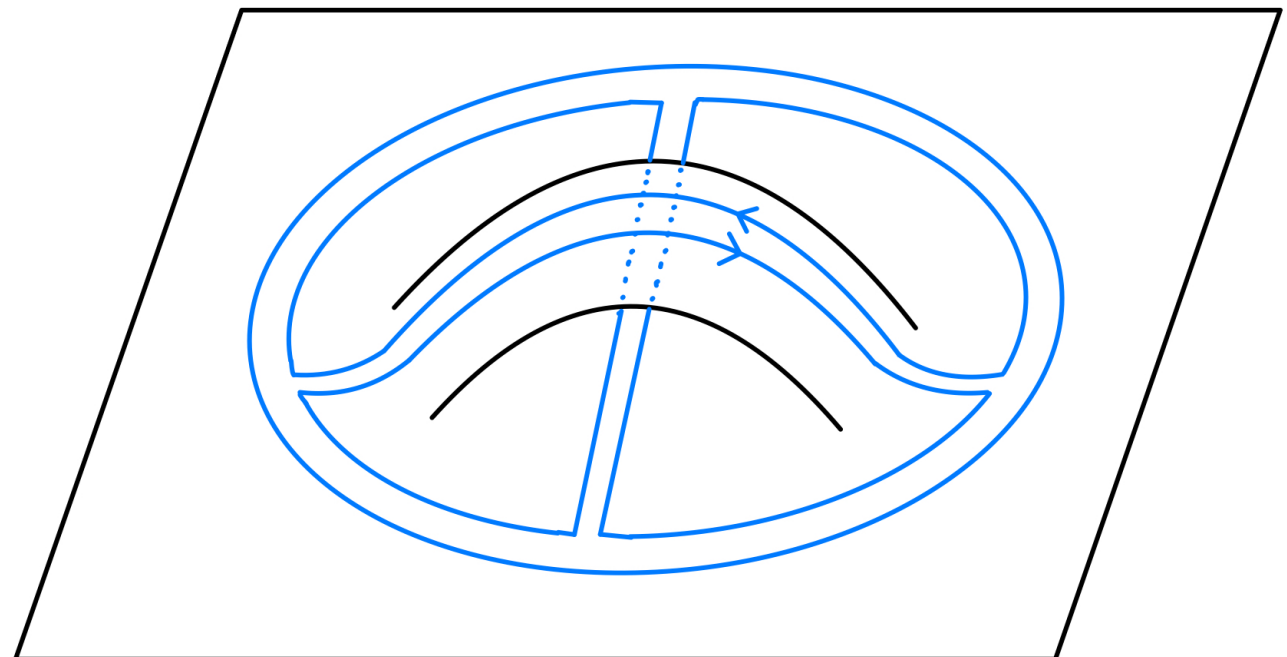
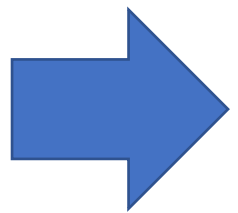
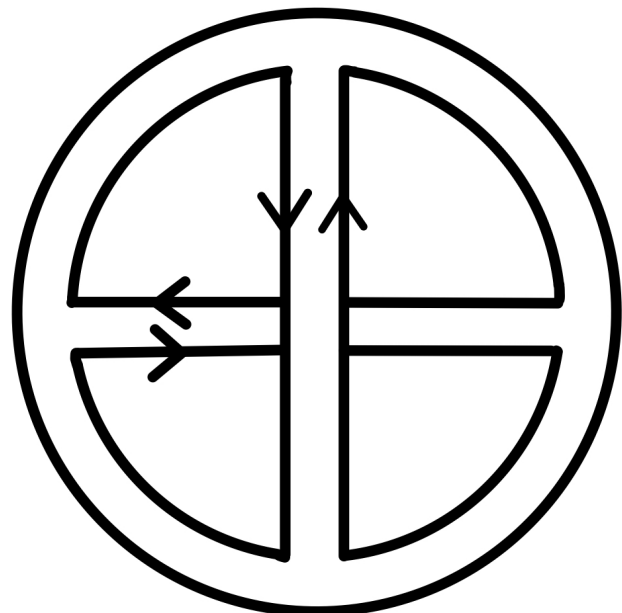
3. 今後の展望



4. 補遺



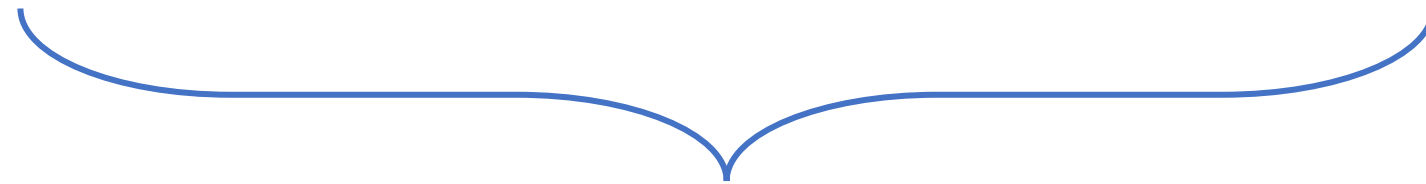
4. 補遺



4. 補遺

2.1 Vector model ($d = 0 + 0$)

$$\frac{\log Z(\vec{J} = 0)}{N} = \frac{3}{8\lambda} \left(1 - \sqrt{1 + \frac{2}{3}\lambda} \right)^2 - \frac{1}{2} \log \left(\left(1 + \sqrt{1 + \frac{2}{3}\lambda} \right) / 2 \right) + O\left(\frac{1}{N}\right)$$

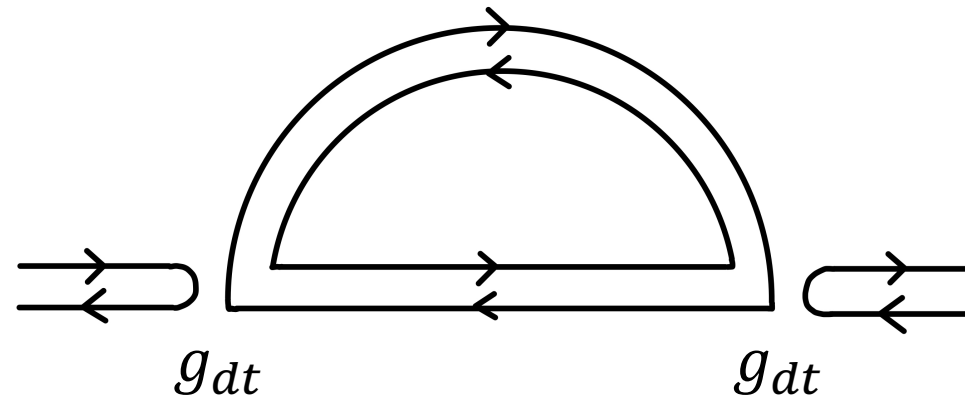
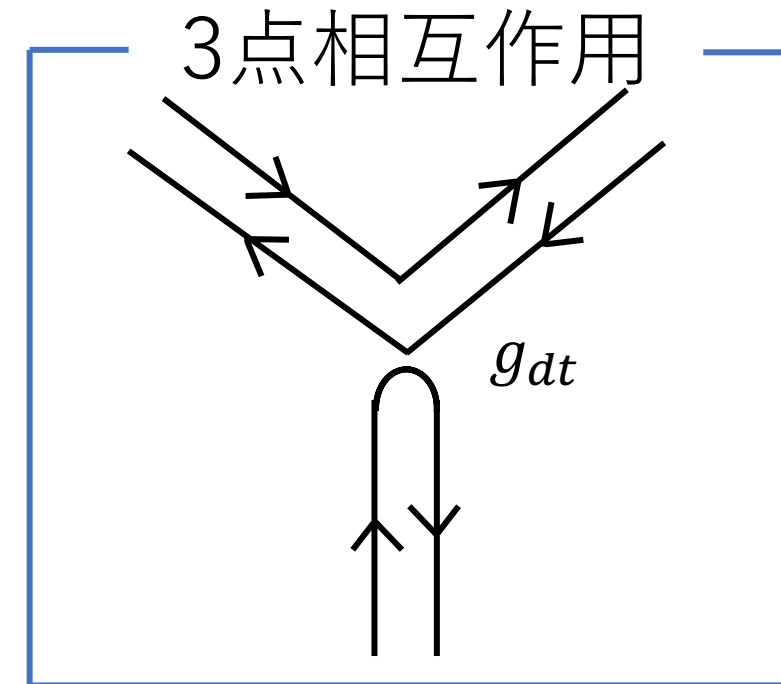
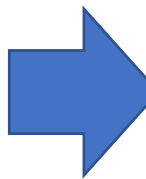


bubble diagram

4. 補遺

2.2 Matrix model

$$\mathcal{L}_{int}^{dt} = -\frac{g_{dt}}{3!} \text{tr}(\Phi^2) \times \text{tr}(\Phi)$$



$$\lambda_{dt} = (g_{dt})^2 N^2$$

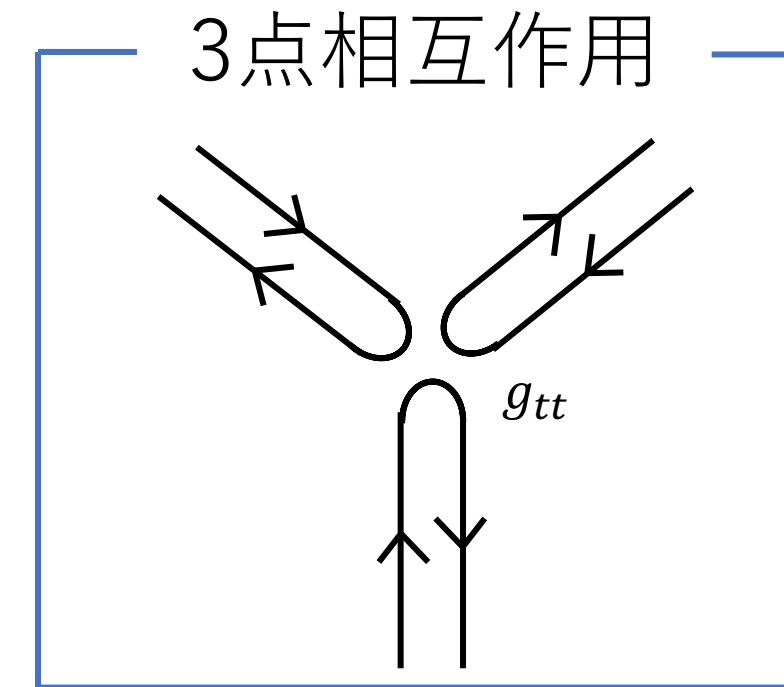
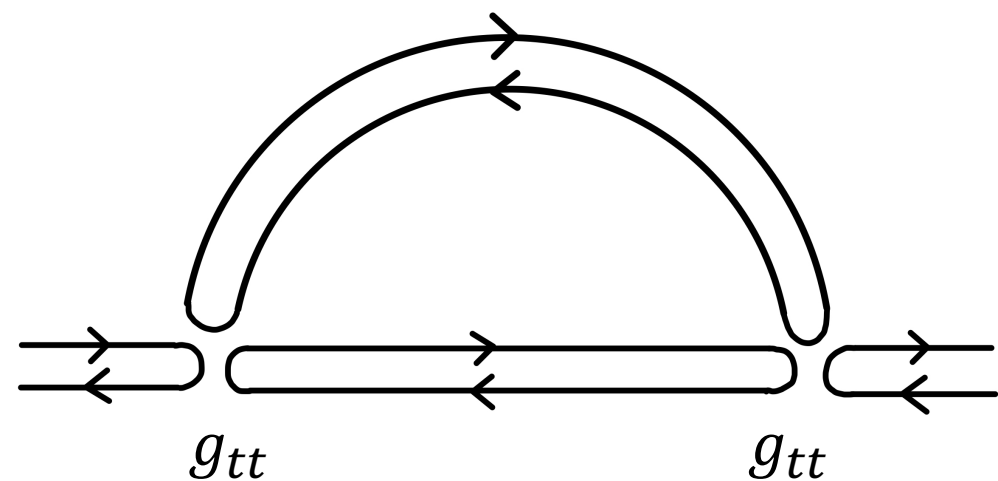
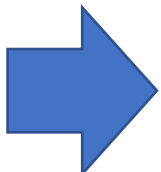


$$g_{dt} = \frac{\sqrt{\lambda_{dt}}}{N} \ll g = \frac{\sqrt{\lambda}}{\sqrt{N}}$$

4. 補遺

2.2 Matrix model

$$\mathcal{L}_{int}^{tt} = -\frac{g_{tt}}{3!} \text{tr}(\Phi) \times \text{tr}(\Phi) \times \text{tr}(\Phi)$$



$$\lambda_{tt} = (g_{tt})^2 N^2$$

$$g_{tt} = \frac{\sqrt{\lambda_{tt}}}{N} \ll g = \frac{\sqrt{\lambda}}{\sqrt{N}}$$

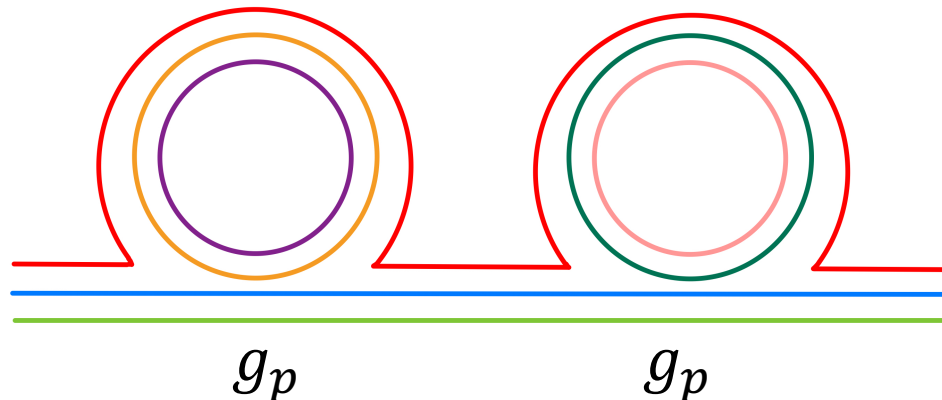
4. 補遺

2.3 Tensor model

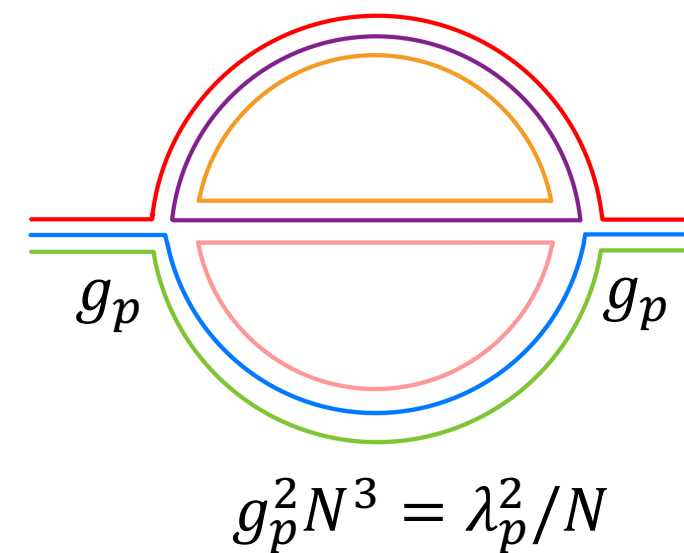
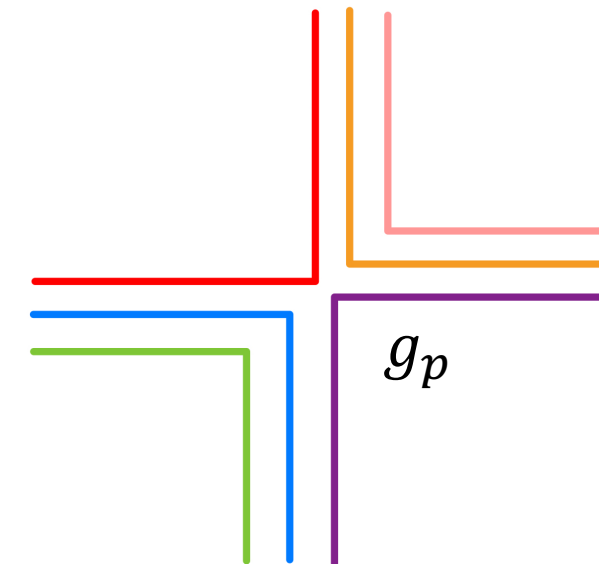
$$\mathcal{L}_{int}^p = -\frac{g_p}{4!} \phi^{i_1 j_1 k_1} \phi^{i_2 j_1 k_1} \phi^{i_2 j_2 k_2} \phi^{i_1 j_2 k_2}$$

$$\lambda_p = g_p N^2$$

$$g_p = \frac{\lambda_p}{N^2} \ll g = \frac{\lambda}{N^{3/2}}$$



$$g_p^2 N^4 = \lambda_p^2$$



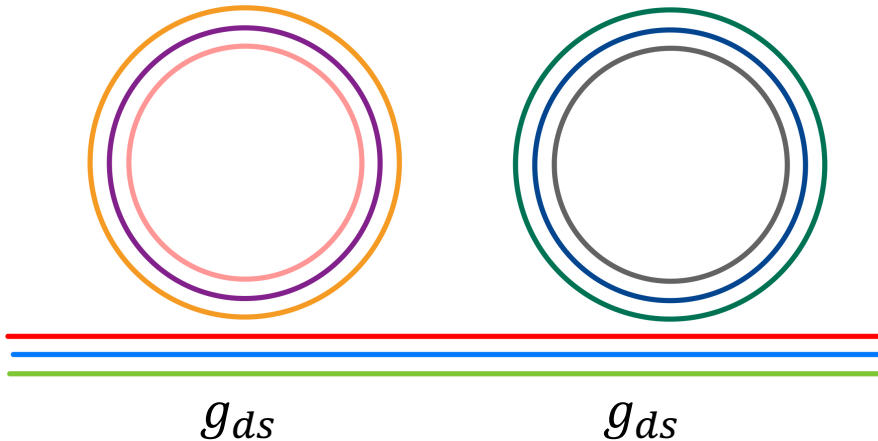
4. 補遺

2.3 Tensor model

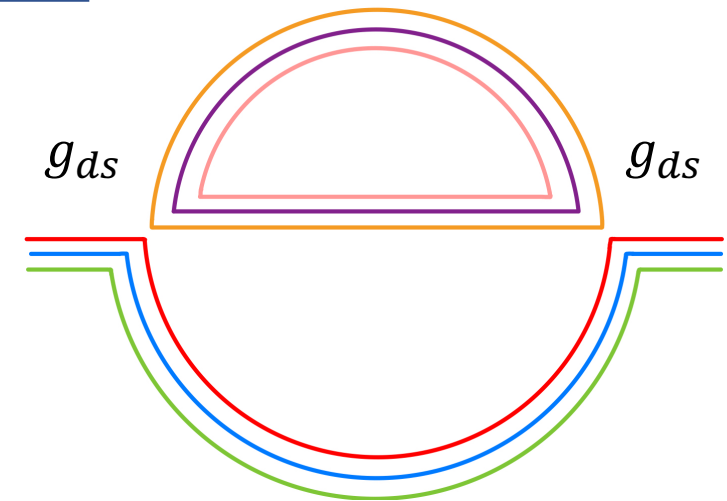
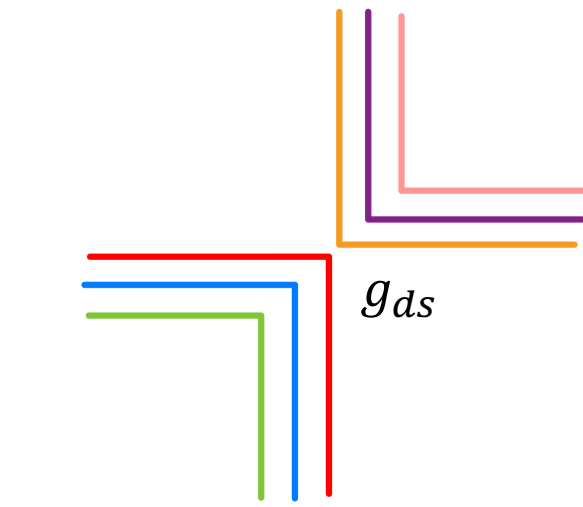
$$\mathcal{L}_{int}^{ds} = -\frac{g^{ds}}{4!} (\phi^{i_1 j_1 k_1} \phi^{i_1 j_1 k_1})^2$$

$$\lambda_{ds} = g_{ds} N^3$$

$$g_{ds} = \frac{\lambda_{ds}}{N^3} \ll g = \frac{\lambda}{N^{3/2}}$$



$$g_{ds}^2 N^6 = \lambda_{ds}^2$$



$$g_{ds}^2 N^3 = \lambda_{ds}^2 / N^3$$